

эффект, по-видимому, проявляется на стенках блоховского типа, что приводит к наблюдаемым автоколебаниям ПС.

Автор выражает благодарность Ю. М. Федорову за предложения и замечания при выполнении работы.

### С п и с о к л и т е р а т у р ы

- [1] Haisma J., Stasy W. T. // J. Appl. Phys. 1973. V. 44. N 7. P. 3367—3369.
- [2] Lacklissou D. E., Chadwick J., Page J. L. // J. Phys. D: Appl. Phys. 1972. V. 5. N 4. P. 810—821.
- [3] Федоров Ю. М., Лексиков А. А., Аксенов А. Е. // Письма в ЖЭТФ. 1983. Т. 37. N 3. С. 134—136.
- [4] Федоров Ю. М., Садреев А. Ф., Лексиков А. А. // ЖЭТФ. 1987. Т. 93. № 6 (12). С. 2247—2256.
- [5] Seavey M. H. // Sol. St. Comm. 1973. V. 12. N 1. P. 49—52.

Институт физики им. Л. В. Киренского  
СО АН СССР  
Красноярск

Поступило в Редакцию  
1 февраля 1989 г.  
В окончательной редакции  
12 июня 1989 г.

УДК 537.611.43 : 621.318.14

© Физика твердого тела, том 32, в. 1, 1990  
Solid State Physics, vol. 32, N 1, 1990

## НЕОДНОРОДНОЕ УШИРЕНИЕ РЕЗОНАНСНЫХ ЛИНИЙ ИНВЕРСИОННЫХ ЦЕНТРОВ

*И. Н. Нуртдинова, Е. И. Неймарк, А. Б. Ройцин*

В данной работе получены точные аналитические выражения для формы резонансных линий локальных центров (ЛЦ), обладающих центром инверсии. В качестве механизма уширения рассмотрены электрические поля ( $e$ ) хаотически распределенных в кристалле диполей. Их функция распределения, согласно [1], имеет вид

$$\rho(e) = \alpha \pi^{-2} (e^2 + \alpha^2)^{-2}, \quad e^2 = \sum_{i=1}^3 e_i^2,$$

где  $e_i$  — компоненты поля  $e$ ,  $\alpha$  — параметр, зависящий от концентрации диполей, их характеристик и свойств кристалла. Первые исчезающие поправки к частоте перехода можно представить в виде  $\Delta\omega = \sum_{i=1}^3 k_i e_i^2$ , где  $k_i$  — параметры, зависящие от ориентации внешних полей и констант гамильтониана. Пусть ширина индивидуальной линии ЛЦ значительно меньше ширины результирующей (неоднородно уширенной) линии. В этом случае исходное выражение для формы последней примет вид [2]

$$\mathcal{J}(\omega) = \int \delta(\omega - \Delta\omega) \rho(e_i) \prod_i de_i. \quad (1)$$

Результат интегрирования (1) при произвольных  $k_j$  зависит от их знаков и взаимных соотношений. Однако все возможные случаи могут быть сведены к двум, приводящим к различным выражениям для  $\mathcal{J}(\omega)$ : 1) все  $k_j > 0$ , 2)  $k_1, k_2 > 0, k_3 < 0$ . Принципиально не сложное, но громоздкое интегрирование дает в случае 1):

$$a) \omega > 0; \quad \mathcal{J}(\omega) = \frac{\alpha}{\pi b_3 \sqrt{b_2}} \left\{ \frac{1}{\sqrt{b_2}} Q + \frac{k_3}{\sqrt{k_{13}}} F(\tau, q) + \frac{\omega \sqrt{k_{13}}}{b_1} E(\tau, q) \right\},$$

$b_i = \omega + \alpha^2 k_i$ ;  $k_{ij} = k_i - k_j$ ;  $\tau = \arctg \sqrt{\omega k_{13}/k_3 b_1}$ ,  $q = \sqrt{k_{12} b_3/k_{13} b_2}$ ,  $Q = \sqrt{\omega k_2 k_3/k_1}$ ;  $F$ ,  $E$  — эллиптические интегралы 1-го и 2-го рода; для определенности, но без ограничения общности положено  $k_1 > k_2 > k_3$ ,

б)  $\omega < 0$ ,  $\mathcal{J}(\omega) = 0$ ,

в случае 2:

а)  $\omega > 0$ ,  $\omega < \alpha^2 |k_3|$ ,  $\mathcal{J}(\omega) = \frac{\alpha}{\pi b_3 \sqrt{b_1}} \left\{ \frac{\omega \sqrt{k_{23}}}{b_2} E\left(\frac{\pi}{2}, t\right) - \frac{k_3}{\sqrt{k_{23}}} F\left(\frac{\pi}{2}, t\right) \right\}$ ,

$\omega > \alpha^2 |k_3|$ ,  $\mathcal{J}(\omega) = \frac{\alpha}{\pi b_3 \sqrt{b_2}} \left\{ \frac{\omega \sqrt{k_{13}}}{b_1} E\left(\frac{\pi}{2}, t\right) - \frac{k_3}{\sqrt{k_{13}}} F\left(\frac{\pi}{2}, t\right) \right\}$ ,  
 $t = \sqrt{\frac{k_{12} |b_3|}{b_2 k_{13}}}$ ,

б)  $\omega < 0$ ,  $|\omega| < \alpha^2 k_2$ ,  $\mathcal{J}(\omega) = \frac{\alpha}{\pi b_3} \left\{ \frac{1}{b_2} Q - \frac{1}{\sqrt{b_1}} \left[ \frac{k_3}{\sqrt{k_{23}}} F(\nu, n) + \frac{\omega \sqrt{k_{23}}}{b_1} E(\nu, n) \right] \right\}$ ,

$\alpha^2 k_2 < |\omega| < \alpha^2 k_1$ ,  $\mathcal{J}(\omega) = \frac{\alpha}{\pi \sqrt{-b_3}} \left\{ \frac{1}{\sqrt{b_1}} \left[ \frac{k_1}{\sqrt{k_{12}}} F(\mu, l) + \frac{\omega \sqrt{k_{12}}}{b_2} E(\mu, l) \right] - \frac{1}{b_2 \sqrt{-b_3}} Q \right\}$ ,

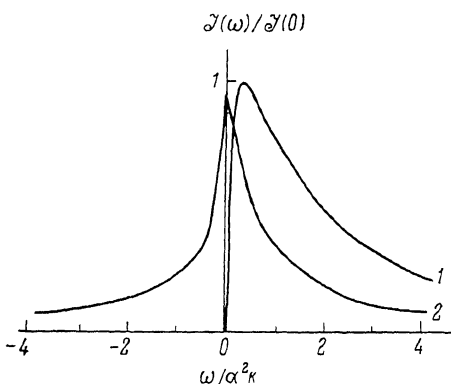
$|\omega| > \alpha^2 k_1$ ,  $\mathcal{J}(\omega) = \frac{\alpha}{\pi b_1 \sqrt{-b_2}} \left\{ \frac{k_1}{\sqrt{k_{13}}} F(\varepsilon, m) + \frac{\sqrt{k_{13}} \omega}{b_3} E(\varepsilon, m) \right\}$ ,

$\nu = \arcsin \sqrt{-b_1 k_3 / b_3 k_1}$ ,  $n = \sqrt{-k_{12} b_3 / k_{23} \omega}$ ,  $\mu = \arcsin \sqrt{k_{12} k_3 / k_{23} k_1}$ ,  
 $l = 1/n$ ,  $\varepsilon = \arcsin \sqrt{-k_3 b_2 / k_{23} \omega}$ ,  $m = \sqrt{k_{23} b_1 / k_{13} b_2}$ ,

для определенности выбрали  $k_1 > k_2$ .

При некоторых соотношениях между параметрами  $k_j$  эллиптические интегралы сводятся к элементарным функциям, и выражения для  $\mathcal{J}(\omega)$  упрощаются. Для иллюстрации, имея в виду сопоставление с другим теоретическим подходом, на рисунке приведены графики функций для двух соотношений между параметрами.

Полученные результаты мы сопоставили с соответствующими расчетами [3], где авторы применили для интерпретации экспериментальных данных статистическую теорию 2-го порядка [4]. В теории [4] содержатся те же исходные приближения, что и использованные нами, но, кроме того, в целях применения стандартного формализма статистической теории в ней сделаны дополнительные приближения, приводящие к неконтролируемым погрешностям, а в ряде случаев — к расходящимся интегралам. Сопоставление показало, что значения ширины линии в [3] завышены приблизительно на 25 % по сравнению с полученным нами точным результатом. Еще более сильное различие в степени асимметрии (параметр асимметрии  $\eta$  равен 0.29 в [3] по сравнению с  $\eta = 0.44$  по данным настоящей работы). Такие существенные различия вызваны необходимостью обрезания функций  $\mathcal{J}(\omega)$  вследствие появления расходимостей при расчетах по теории [4]. Подчеркнем, что при использовании полученных нами вы-



Форма линии инверсионных ЛЦ, обусловленная электрическими полями диполей, при соотношении параметров  $k_1 = k_2 = k_3 > 0$  (1) и  $k_1 = k_2 = k > 0$ ,  $k_3 = 2|k|$  (2).

ражений не возникает необходимости обрезания  $\mathcal{J}(\omega)$ , так как в  $\mathcal{J}(\omega)$  не содержатся выражения, стремящиеся к бесконечности ни при каких  $\omega$ .

Из изложенного видно, что использование существующей статистической теории 2-го порядка [4] может привести к значительным погрешностям при определении параметров дефектов из экспериментальных форм и ширин линий. Вывод формул, аналогичных полученным выше для других дефектов, не представляет принципиальных трудностей. Так, нами были получены подобные формулы и для точечных заряженных дефектов. В силу более сложного закона распределения их электрического поля формулы оказались более громоздкими, чем в случае дипольных дефектов, но их применение не встретило трудностей.

#### Список литературы

- [1] Klein M. W., Held C., Zuroff A. J. // Phys. Rev. B. 1976. V. 13. P. 3576—3589.
- [2] Ройцин А. Б., Кравцова И. Н. // Тр. Междунар. школы по магнитному резонансу. Новосибирск, 1987. С. 164.
- [3] Вугмейстер Б. Е., Быков И. П., Кондакова И. В., Лагута В. В. // ФТТ. 1987. Т. 29. № 5. С. 2449—2454.
- [4] Stoneham A. M. // Rev. Mod. Phys. 1969. V. 41. N 1. P. 82—108.

Институт полупроводников АН УССР  
Киев

Поступило в Редакцию  
12 июня 1989 г.

УДК 538.222 : 546.654

Физика твердого тела, том 32, в. 1, 1990  
Solid State Physics, vol. 32, N 1, 1990

## МАГНИТНАЯ ВОСПРИИМЧИВОСТЬ ИНТЕРМЕТАЛЛИДОВ $R_xNi_{1-x}$ ( $R=La, Nd$ ) ПРИ ВЫСОКИХ ТЕМПЕРАТУРАХ

А. Э. Вафин, В. В. Сингер, И. З. Радовский,  
П. В. Гельд, А. Н. Цмокалюк

Исследование электронного и магнитного строения соединений  $4f-3d$ -элементов — одна из важных задач физики твердого тела. Особый интерес представляют интерметаллиды  $R_xNi_{1-x}$ , отличающиеся слабыми обменными взаимодействиями между атомами подрешеток, что облегчает разделение вкладов компонентов в их магнитную восприимчивость. Однако сведения о магнитной восприимчивости этих соединений при высоких температурах отсутствуют.

В настоящей работе были изучены температурные зависимости магнитной восприимчивости ( $\chi$ ) интерметаллидов  $RNi_5$ ,  $R_2Ni_7$ ,  $RNi_3$ ,  $RNi_2$ ,  $RNi$  и  $R_3Ni$  ( $R=La, Nd$ ) в интервале температур от 300 до температур, на 50 К превышающих температуры их плавления. Исследованные соединения готовились сплавлением навесок чистых компонентов в вакуумной дуговой печи на водоохлаждаемом медном поду. Полученные слитки отжигались в вакууме в течение 50—70 ч при температурах на 50—100° ниже температур их плавления и медленно охлаждались с печью. Однофазность приготовленных образцов контролировалась рентгенографическим и металлографическим методами.

Исследования температурных зависимостей  $\chi$  препаратов проводились методом Фарадея в атмосфере очищенного гелия (с применением контейнеров из  $Y_2O_3$ ). При этом использовались автоматизированные маятниковые весы с непрерывной регистрацией сигнала [1].

В изученных условиях температурные зависимости магнитной восприимчивости соединений  $Nd_xNi_{1-x}$  (рис. 1) и  $La_xNi_{1-x}$ , за исключением интерметаллидов  $LaNi$  и  $La_3Ni$ , которые являются паулиевскими парамагнети-